

## **Impact of ATM on terminals and services**

### **5.1 INTRODUCTION**

Táto kapitola sa zaoberá výhodami ktoré ponúka asynchronný prenosový mód pre služby ako

- variable bit rate video coding
- layered video coding
- práca s nezávislými hodinami

Tiež sa zaoberá problémami ktoré sa v ATM sietiach vyskytujú a ktoré je potrebné riešiť (cell loss, cell delay jitter, source policing).

### **5.2 VARIABLE BIT RATE VIDEO CODING**

Výsledkom kódovania video signálu pri použití PCM (Pulse Code Modulation) je fixná veľkosť výstupného kódovaného signálu. Pri použití kompresných algoritmov je veľkosť výstupného kódovaného signálu premenlivá. Dôvodom sú premenlivá vizuálna irrelevancy video snímku a premenlivé množstvo redundancie prítomnej v PCM zdrojovom signále. Pre menlivá irelenancia je spôsobovaná nedokonalosťou ľudského oka, ktoré nie je schopné vnímať všetky detaľy.

Súčasné kompresné algoritmy sú založené na kombinácii týchto dvoch fenoménov. Niektoré kódovacie techniky, ktoré prispievajú ku kolísaniu veľkosti výstupného signálu :

- priestorová súvzťažnosť medzi susednými pixelmi v obrázku je relatívne vysoká. To znamená, že pravdepodobnosť, že susedné pixle majú rovnakú alebo skoro rovnakú farbu a svetlosť je vysoká. To sa využíva v intrafield video coding technikách.
- Tiež časová následnosť medzi potupnými časťami obrázku je dosť vysoká. To znamená, že pravdepodobnosť, že pixel v obrázku je rovnaký ako prislúchajúci pixel v predošлом obrázku je vysoká. Z tohto profitujú interframe kódovacie techniky.
- Ak sa časť obrázku hýbe, postupné obrazové polia obsahujú prebytočné informácie aj keď na rôznych miestach. Táto prebytočnosť môže byť odstránená technikou založenou na predpovedaní pohybov objektov (motion compensation technique).
- FFT Fast Fourier Transform or DCT Discrete Cosine Transform – ďalšia kódovacia technika
- Na konečné kódovanie obrazových informácií sa používa Huffmanovo kódovanie (najmenší počet bitov pre signály s vysokou pravdepodobnosťou výskytu a opačne).

Je pravdepodobné, že budúce riešenia ATM video kóderov budú založené na kombinácii techník popísaných vyššie. Bitová veľkosť výstupného signálu bude teda časovo premenlivá. A bude záležať aj od kvality video snímkov ako v MPEG I,II,III .

Štúdia pána Verbiesta ukázala, že video signál experimentálneho kódera sa menil od 8 po 28 Mb za s. obr 5.1

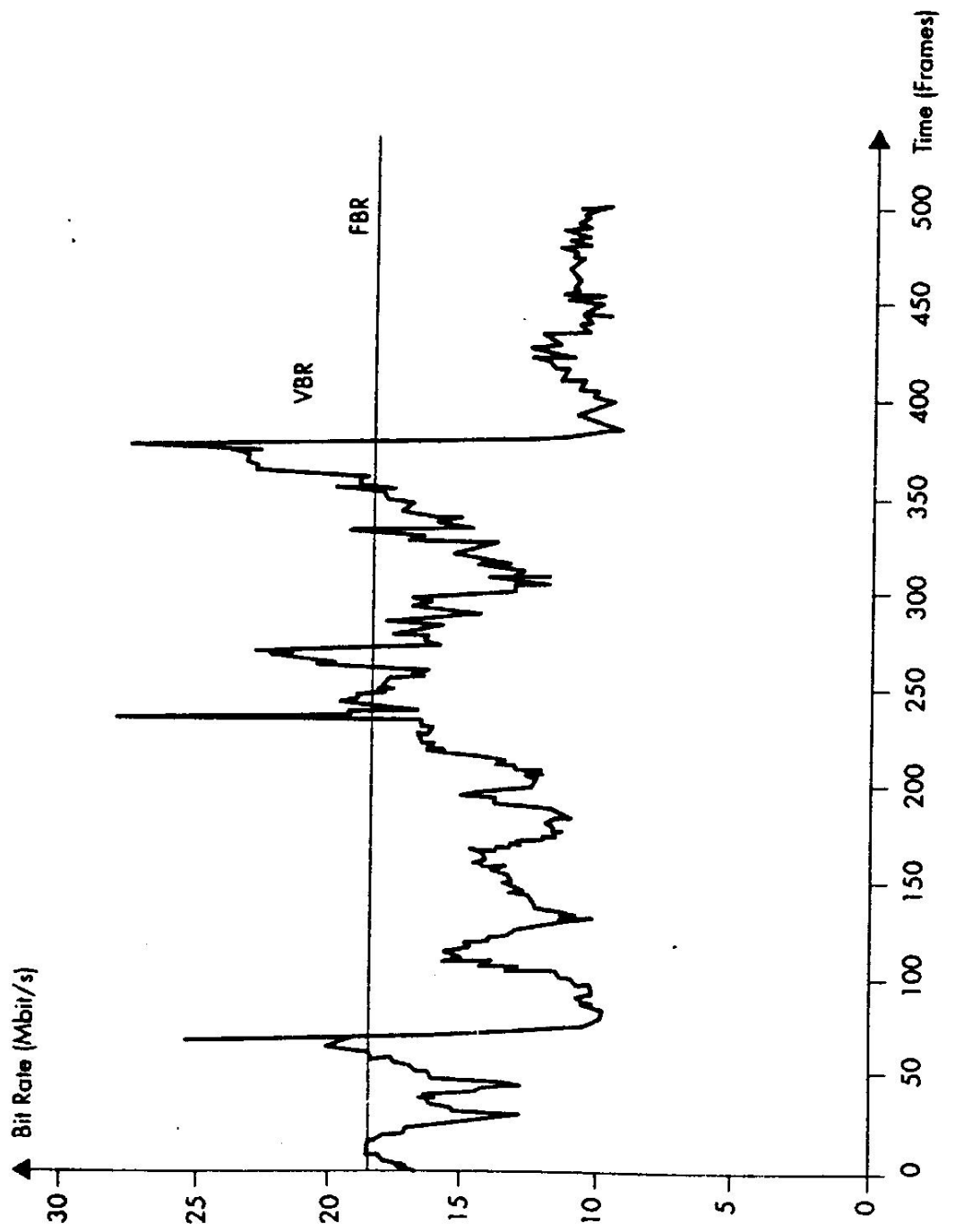
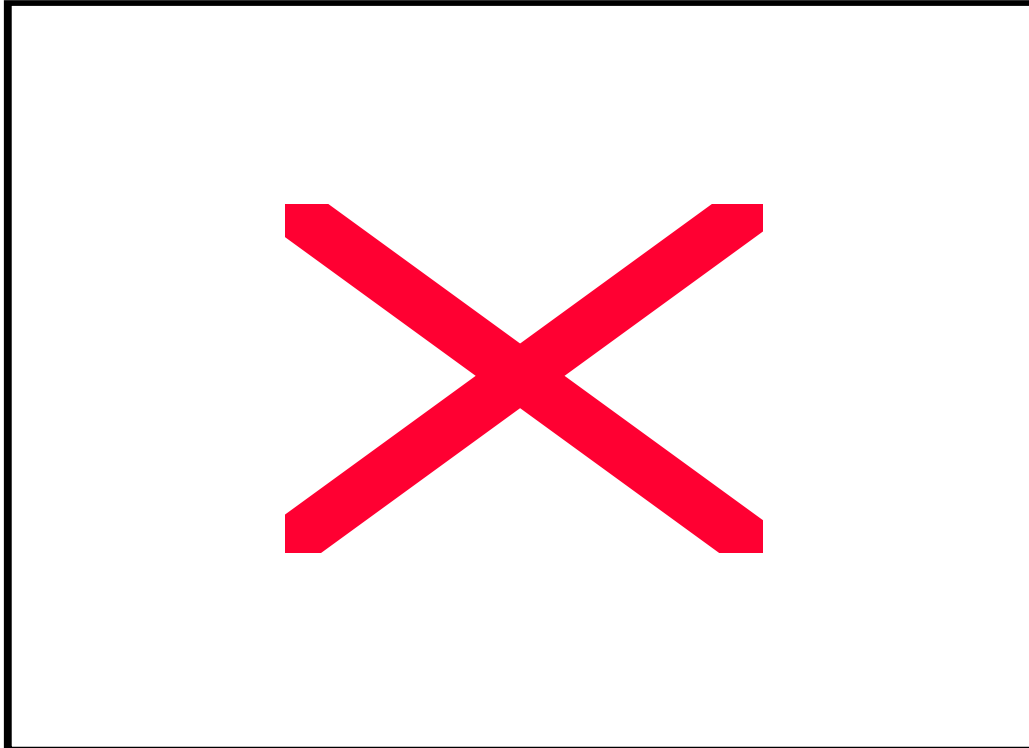


Fig. 5.1. – Fluctuations in Time of a Video Signal

V klasických STM sietach by bolo nutné konvertovať premenlivý video signál na konštantný signál veľkosti danej vlastnosťami siete. Na to sa používa výstupný buffer, ktorý na svojom výstupe produkuje signál fixnej veľkosti vyhľadzovaním premenlivého signálu kódéra.. Správny chod buffera sa obsluhuje feedback signálom. Pri ATM sietach tieto problémy odpadajú, keďže ATM podporuje premenlivú rýchlosť prenosu dát.



Dva hlavné porovnávacie parametre pre VBR a FBR kódovanie sú veľkosť a kvalita obrázkov. Každý kódovací algoritmus robí kompromis medzi veľkosťou a kvalitou signálu. Pri kódovaní s fixnou veľkosťou signálu je možná veľkosť signálu daná vlastnosťami siete. To môže na jednej strane spôsobiť zvýšenú deformáciu obrázkov pre niektoré scény (ak sa výstupný buffer preplňa, je nutné znížiť kvalitu) a na druhej strane aj možné plynky zdrojmi pre iné scény (ak je buffer prázdný aj tak sa prenášajú redundantné informácie). Pri VBR kódovacej schéme môže byť deformácia, kvalita obrazu daná požiadavkami špecifickej služby. Teda kvalita obrazu bude väčšia pre TV ako pre video telefón. Veľkosť kódovaného signálu bude teda závisieť od zložitosti obrázkov a zvolenej kvality. Signál ale bude prenášaný efektívne. Obr 5.3

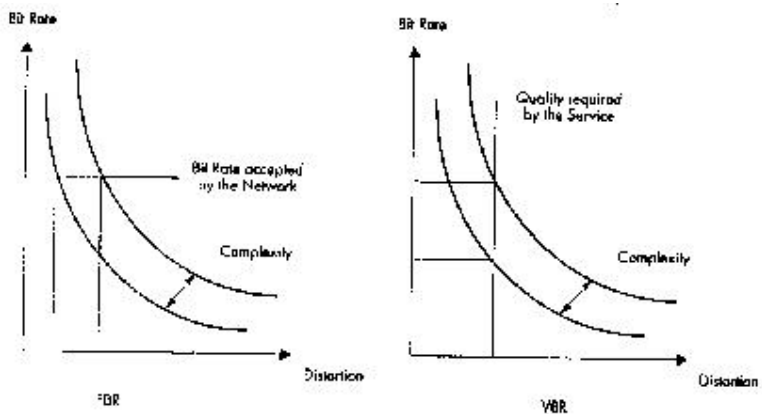


Fig. 5.3. - Bit Rate versus Distortion for VBR and FBR

Ked'že veľkosť signálu sa mení je vhodné vedieť predpovedať vývoj veľkosti signálu video kóderu v čase. Na to slúži pdf (probability density function). Obr 5.4 reprezentuje pdf funkciu pre 3 rôzne služby. Použitý bol identický kódér a kvalita obrázkov bola prispôsobená požiadavkám danej služby. Priemerná veľkosť signálu pre štandardnú TV bola okolo 16 Mb/s, 5 Mb/s pre video telefón a video konferencie. Tieto hodnoty sú len príkladné, ked'že závisia vo veľkej miere od použitého kódera.

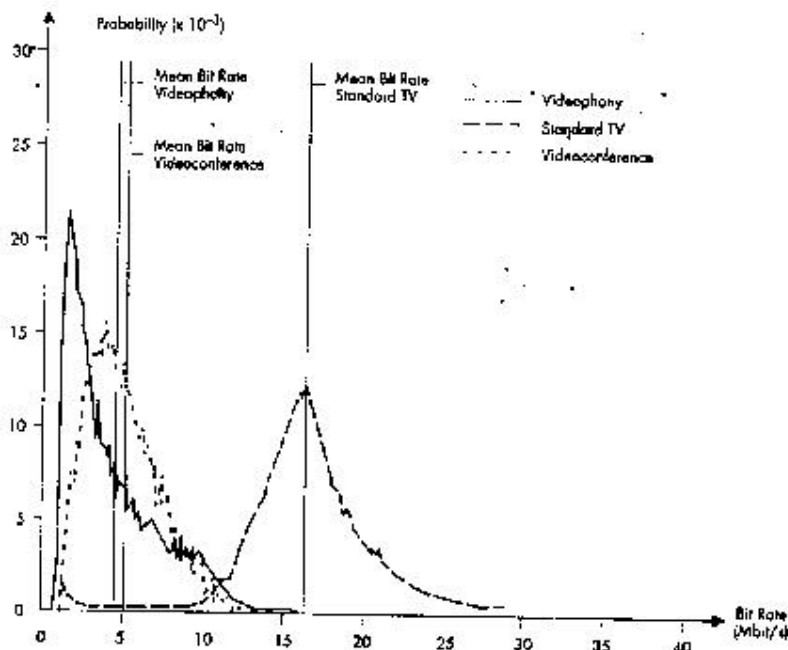


Fig. 5.4. - Bit Rate Probability Distribution Function for Various Sources

Záver : Takže ATM siet' v spolupráci s VBR kódormi prenáša iba neredundantné informácie a ponúka možnosť výberu kvality signálu.

### 5.3 STATISTICAL MULTIPLEXING

V ATM siet'ach môže byť niekoľko zdrojových signálov prenášaných na jednej linke. V STM sieti alebo sieti s FBR kódovaním požadovaná veľkosť linky bude suma jednotlivých pevných požadovaných veľkostí . V ATM siet'ach sa ponúka možnosť získať na efektívite využitím

štatistického multiplexovania zdrojových signálov, pri podmienke, že zdroje vzájomne nekorelujú.

Obr. 5.5 znázorňuje n-násobok rovnakej pdf (video konferencia) pre  $n=16, 32, 64$  zdrojov ktoré nekorelujú. Graf vlastne ukazuje pravdepodobnosť s akou  $n$  nekorelujúcich zdrojov multiplexovaných na jedinej linke presiahne určitú bitrate.

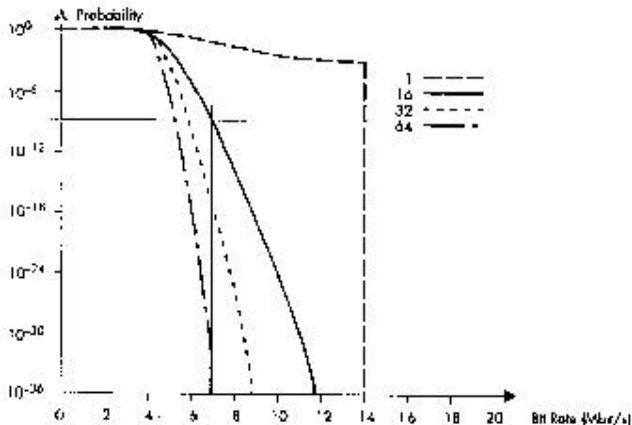


Fig. 5.5. – Statistical Multiplexing of Video Conference Sources

Z obrázku vidíme, že pravdepodobnosť toho, že požadovaná šírka pásma pre 16 nekorelujúcich multiplexovaných zdrojov presiahne 7 Mb/s je menšia ako  $10^{-9}$ . Teda ak je ATM siet dimenzovaná cell loss rate  $10^{-9}$  a multiplexný faktor je väčší ako 16, siet bude schopná akceptovať približne dvojité množstvo spojení ako porovnatelná siet s FBR.

Toto multiplexovanie môže byť uskutočnené iba ak poznáme pdf jednotlivých zdrojov, čo nie je vždy jednoduchá úloha. Namiesto toho sa preferujú jednoduchšia metóda, ktorá pri každej novej požiadavke na pripojenie umožňuje zistiť, či je dostupné požadované množstvo prostriedkov. Táto kontrola je nutná pre zabezpečenie požadovanej kvality služieb. Metóda je založená na parametrizácii pdf. Dobré reprezentácie pdf sa dajú získať na základe hodnôt generujúcich funkcií a z nich určených vlastností ako priemer, rozptyl... Ak uvažujeme len priemer a rozptyl(zmenu) celková pdf môže byť vypočítané ako

$$\text{Average (sum pdf)} = \text{Sum average (pdf)}$$

$$\text{Variance (sum pdf)} = \text{Sum variance (pdf)}$$

Každopádne je ale zaujímavejšie poznať celú pdf funkciu ako len jej niektoré charakteristiky. Ak je počet multiplexovaných zdrojov dostatočne vysoký sum pdf pripomína Gaussovo rozdelenie. Na porovnanie slúži tab. 5.1. Uvádzajú rozdiel medzi Gaussovým rozdelením a nameraným hodnotami pre video konferenciu. Vidíme, že rozdiel sa s narastajúcim množstvom video spojení zmenšuje a pri 128 spojeniach je menší ako 0,8 %.

Problém štatistického multiplexovania a algoritmov na alokáciu požadovanej šírky pásma sú stále objektom výskumu.

Number of connections	16	32	64	128
$\mu$ (Mbit/s)	4,13	4,13	4,12	4,12
$\sigma$ (Mbit/s)	0,130	0,067	0,034	0,017
Measured distribution (Mbit/s)	6,50	5,65	5,15	4,81
Gaussian distribution (Mbit/s)	5,93	5,42	5,04	4,77
Difference (%)	8,73	4,00	2,10	0,79

Tabuľka 5.1 – porovnanie medzi Gaussovým a nameraným rozdelením

## 5.4 SERVICE MULTIPLEXING

V budúcich BISDN sietiach budú skoro všetky prenášané služby pozostávať viac ako z jedného komponentu. Každý komponent bude prenášať špecifický druh informácií. Tab. 5.2 znázorňuje služby a príslušné komponenty.

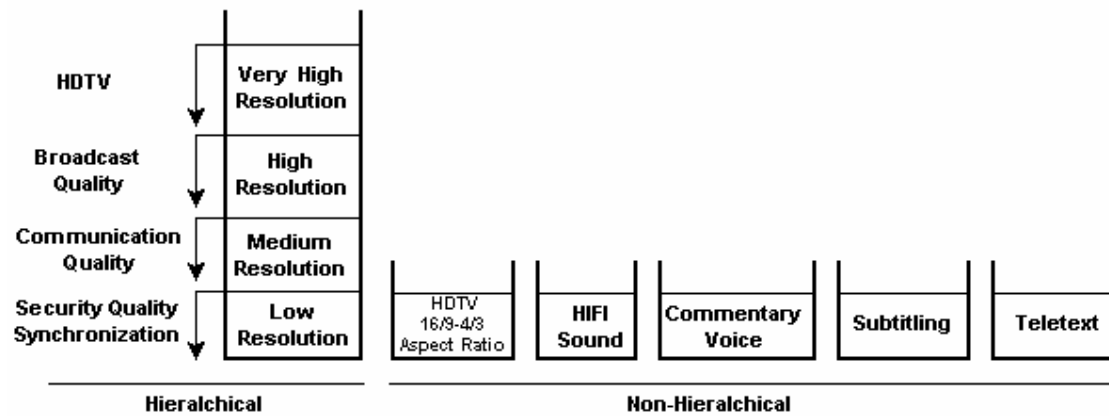
- Audio : Tento komponent prenáša zvukový signál rôznej kvality, od klasickej PCM (64 kbit/s) až po vysoko kvalitný HIFI zvuk generovaný CD prehrávačom.
- Standard video : Tento komponent prenáša štandardný video signál. Veľkosť signálu sa môže pohybovať v rozpätí 1,5 až 15 Mb/s pre bežný video signál, pre kvalitnejšie služby môžu nároky stúpať.
- High definition video overhead : Tento komponent obsahuje dodatkové informácie požadované pre HDTV. Tie v kombinácii so štandard video komponentom dávajú HDTV signál..
- Teletext : Tento komponent prenáša teletextové informácie.
- Data : Tento komponent prenáša dátu. Sú to dátu spojené s typom prenášaného programu alebo s typom služby.

Všetky tieto komponenty môžu byť v ATM sietiach prenášané samostastne, rôznymi virtuálnymi kanálmi. Musia sa však dodržovať určité obmedzenia. Napr. Časový rozdiel medzi zvukovým a obrazovým signálom nesmie byť väčší ako 100 ms. (pre dobrú synchronizáciu obrazu a zvuku).

<b>Component</b> <b>Služba</b>	<b>Dáta</b>	<b>Teletext</b>	<b>Audio</b>	<b>Štandard video</b>	<b>High def. Video overhead</b>
Telefón			X		
Video telefón	X		X	X	
Štandard TV	X	X	X	X	
High definition TV	X	X	X	X	X
Video knižnica	X		X	X	
High quality ratio	X		X		
High speed data	X				

Tabuľka 5.2 – Služby a Komponenty

Ďalším krokom pri delení prenášanej informácie je rozdelenie jednoduchého typu informácie na niekoľko vrstiev. Tieto vrstvy môžu byť prispôsobené kvalite služby a požadovanej citlivosti na chyby. Obr. 5.6 znázorňuje takýto vrstvový model . Obsahuje už popisované nehierarchické komponenty a tiež hierarchické video komponenty.



Najspodnejšia vrstva obsahuje nízko kvalitný video signál, použiteľný napr. pre bezpečnostné účely. Druhá vrstva je vrstva so strednou kvalitou obrazu vhodná napr. pre video telefóny a video konferencie. Tretia vrstva je vrstva s vysokým rozlíšením pre šírenie televízie po sieti. Najvyššia vrstva je HDTV.

Každá vrstva využíva informácie nižších vrstiev na skonštruovanie obrázku požadovanej kvality. Dôležitá výhoda vrstvového princípu je kompatibilita medzi rôznymi službami. Je teda možné sledovať program prenášaný ako HDTV signál na štandardnom TV zariadení využitím len troch spodných vrstiev na konštruovanie obrazu.

Ďalšou výhodou vrstvového princípu je možnosť lepšie sa vysporiadáť so stratami buniek (cell loss) v ATM sietiach. Tab. 5.3 ukazuje priemerný čas medzi po sebe nasledujúcimi chybami siete (bit error rate, cell loss) pre rôzne prenosové rýchlosťi. Vidíme že pre prenosovú rýchlosť 135 Mb/s a pri cell loss rate  $10^{-8}$  nastane chyba (cell loss) raz za 4,7 minúty, ale pre 64 kbit/s je to 6,9 dňa. Vrstvová architektúra ponúka efektívny spôsob ako sa s týmto vysporiadáť.

- ak sa stratí informácia vo vyššej vrstve, stále je možné nahradíť ju príslušnou informáciou z vrstiev nižších. Tým sa zníži viditeľný efekt takejto chyby. Preto vo vyšších vrstvách nevystáva potreba FEC (forward error correction).
- Pretože nižšie vrstvy operujú pri nižších prenosových rýchlosťach, priemerný čas medzi chybami je väčší.
- Nižšie vrstvy môžu byť ľahšie chránené proti strate buniek použitím FEC (forward error correction) metódy pretože ich prenosová rýchlosť je nižšia. Teda implementácia ochrany proti strate buniek alebo bitovej chybe je jednoduchšia ako pri vyšších vrstvách.

Priemerná rýchlosť	Prenosová rýchlosť	64 kbit/s	256 kbit/s	1,5 Mbit/s	10 Mbit/s	45 Mbit/s	135 Mbit/s
Bit Error Rate	$10^{-6}$	16 sek.	3,9 sek.	0,7 sek.	0,1 sek.	22,0 ms	7,4 ms
	$10^{-9}$	4,3 hod.	65 min.	11 min.	1,7 min.	22 sek.	7,4 sek.
	$10^{-12}$	6 mes.	1,5 mes.	7,7 dňa	1,2 dňa	6,2 hod.	2,1 hod.
Cell Loss Rate	$10^{-6}$	1,7 hod.	25 min.	4,3 min.	38 sek.	8,5 sek.	2,8 sek.
	$10^{-8}$	6,9 dňa	1,7 dňa	7,1 hod.	1,1 hod.	14 min.	4,7 min.
	$10^{-10}$	1,9 roka	5,8 mes.	1 mes.	4,4 dňa	1 deň	7,9 hod.

Tabuľka 5.3 – Priemerný čas medzi po sebe nasledujúcimi stratami buniek (cell loss) a bitovými chybami (bit error).

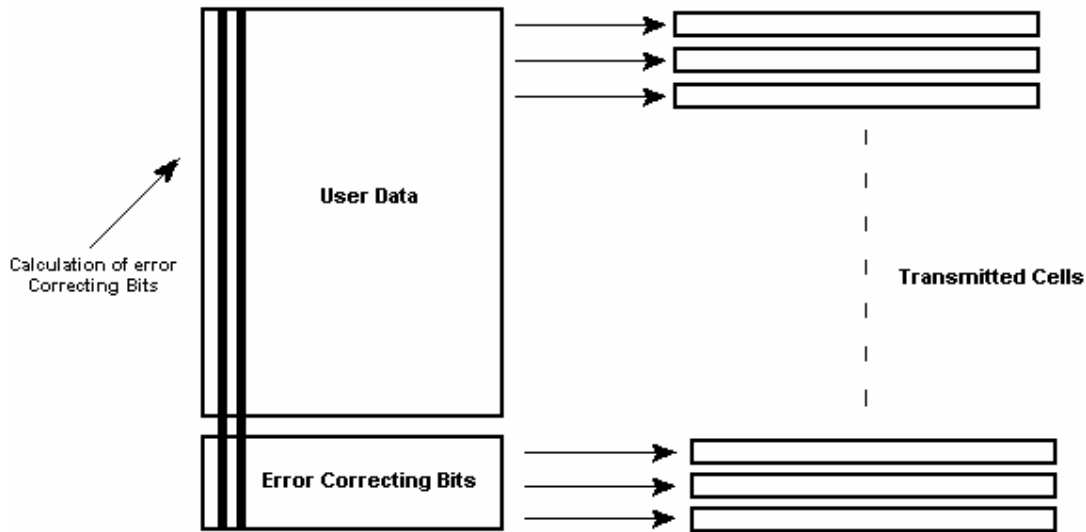
Delenie signálu na vrstvy môže byť založené na rôznych technikách. Napr. vyžitie DCT (discrete cosine transform) koeficientov. Pr tejto technike je priestor na obrázku transformovaný na dve množiny frekvenčných komponentov : nízko frekvenčné komponenty môžu byť použité nižšími vrstvami keďže obsahujú nižšie rozlíšenie, vysoko frekvenčné komponenty sú používané vyššími vrstvami.

Iný prístup posiela pôvodný signál cez sériu dvoch nízko prieplustných a dvoch vysoko prieplustných filtrov. Nízko a vysoko prieplustný filter pre horizontálne rozlíšenie a rovnako pre vertikálne rozlíšenie. Výsledkom sú 4 rôzne signály, ktoré môžu byť brané ako vrstvy.

## 5.5 CELL LOSS PROTECTION

Použitím switching systému zo 4. Kapitoly môžme pre ATM siet' cell loss rate okolo  $10^{-8}$  až  $10^{-9}$ . Táto hodnota je vyhovujúca pre väčšinu služieb. Napriek tomu existujú služby, ktorých kvalita by mohla výrazne utrpieť aj pri takejto nízkej chybovosti. (napr. bankové prevody...). Takéto služby sa dajú rozdeliť do dvoch skupín :

- služby, ktoré nevyžadujú real time prenos dát  
Tieto služby môžu akceptovať rozumné zdržanie a preto oprava nekorektných dát a doplnenie chýbajúcich môže byť ošetrené ich retransmisiou. Môžu používať napr. ARQ (automatic repeat request ) protocol alebo jednoduchší XTP (eXpress Transport Protocol) vhodnejší pre rýchly prenos dát.
- služby vyžadujúce real time prenos dát (napr. video)  
Tieto služby nemôžu spoliehať na retransmisiu dát ale potrebujú metódy na odhalenie a korekciu chýb v prenose. Typické FED (forward error detection) metódy sú založené na číslovaní buniek. Použitím číslovania modulo N sme schopní detektovať N-1 po sebe idúcich strát buniek. Takáto metóda nie je náročná a pre niektoré služby je úplne postačujúca (napr. prenos hlasu). FEC (forward error correction) môžu byť založené na viacerých princípoch. BCH kódovanie jednotlivých buniek nedetektuje stratu buniek. Aby to bolo možné, musí byť BCH implementované na viacerých bunkách, čo môže vyžadovať väčšie množstvo overhead bits a zložitú implementáciu. Jednoduchšia metóda je založená na kombinácii prekrývania buniek a BCH kódovania. Prekrývanie zabezpečuje, že BCH nemusí pokrývať príliš veľa bitov a nie je preto veľmi komplikované. Obr. 5.7 ukazuje, že informácie a korekčný kód sú prenášané v rôznych bunkách.



V predchádzajúcej sekcií spomínané vrstvové kódovanie video signálu je tiež možným nástrojom na vykonávanie ochrany proti strate buniek.

## 5.6 SERVICE SYNCHRONIZATION

V ATM sietiach vo všeobecnosti nevystáva potreba synchronizácie siete a služieb vďaka asynchronnému prenosovému módu. Je len potrebné synchronizovať vysielajúci a prijímací terminál. Lokálne hodiny terminálu môžu byť rekonštruované na prijímacom terminále pomocou prichádzajúceho prúdu informácií. Toto umožňuje terminákom pracovať s frekvenciou a prenosovou rýchlosťou nezávislou na prenosovom médiu=sieti. Na rekonštrukciu hodín sa používajú rôzne techniky. Jedna metóda rekonštruuje lokálne hodiny na základe plnenia cell bufferu na strane prijímača. Obr 5.8a.

Dáta sa doručujú terminálu rýchlosťou určenou lokálnymi hodinami. Tieto hodiny sú generované PLL(phase local loop), tá je kontrolovaná úrovňou plnenia buffra. Ak buffer podteká PLL sa spomalí, ak preteká PLL zrýchli. Na uistenie, že buffer nepodteká ked' dorazí prvá bunka, je buffer pred použitím naplnený na určitú úroveň.

Iná metóda využíva špecifické informácie posielané zdrojovým terminálom. Tento posiela časové známky (time stamp) v pravidelných časových intervaloch podľa svojich lokálnych hodín. Prijímač tieto značky rozpozná a PLL podľa nich generuje lokálne hodiny.

